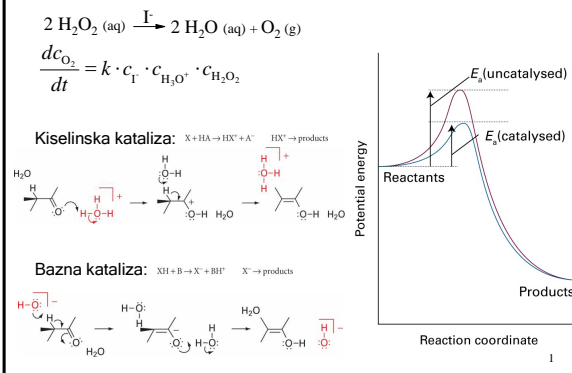
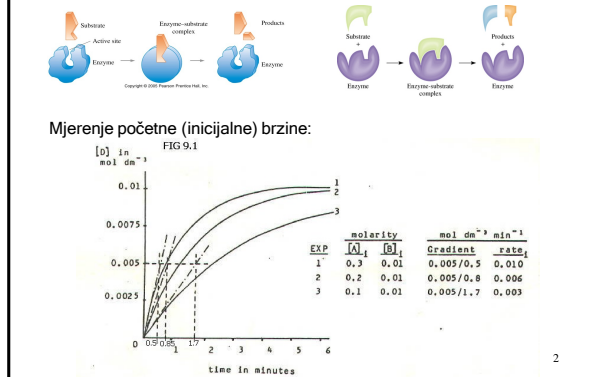


Homogena kataliza

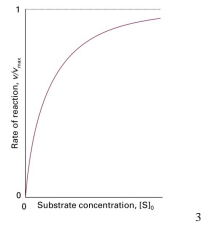


Enzimska kataliza



Michaelis-Mentenov mehanizam

- za različite $c_{\text{S},0}$, početna brzina stvaranja produkta razmjerna je $c_{\text{S},0}$.
- za neku $c_{\text{E},0}$ i pri malim $c_{\text{S},0}$, brzina stvaranja produkta razmjerna je $c_{\text{S},0}$.
- za neku $c_{\text{E},0}$ i pri velikim $c_{\text{S},0}$, brzina stvaranja produkta je neovisna o $c_{\text{S},0}$ i doseže najveću (maksimalnu) brzinu v_{\max} .



Michaelis-Mentenova jednadžba

$$\text{E} + \text{S} \xrightleftharpoons[k_a]{k_b} \text{ES} \xrightarrow{k_b} \text{E} + \text{P}$$

$$v = \frac{k_b \cdot c_{\text{E},0} \cdot c_{\text{S},0}}{c_{\text{S},0} + K_M} = \frac{v_{\max} \cdot c_{\text{S},0}}{c_{\text{S},0} + K_M} \quad v = \frac{k_b \cdot c_{\text{E},0}}{1 + \frac{K_M}{c_{\text{S},0}}}$$

Michaelisova konstanta: $K_M = \frac{k_a + k_b}{k_a}$

Kada je $c_{\text{S},0} \ll K_M$, v je razmjerna $c_{\text{S},0}$: $v = \frac{k_b}{K_M} \cdot c_{\text{S},0} \cdot c_{\text{E},0}$

Kada je $c_{\text{S},0} \gg K_M$, v doseže najveću brzinu v_{\max} : $v = v_{\max} = k_b \cdot c_{\text{E},0}$

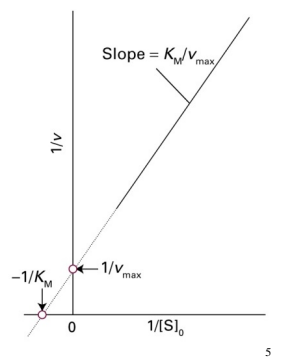
Kada je $c_{\text{S},0} = K_M$: $v = \frac{v_{\max}}{2}$

4

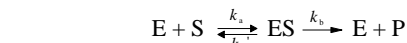
Lineweaver-Burk jednadžba

Kada je $c_{\text{S},0} >> K_M$:

$$\frac{1}{v} = \frac{1}{v_{\max}} + \frac{K_M}{v_{\max}} \cdot \frac{1}{c_{\text{S},0}}$$



Katalitička efikasnost enzima

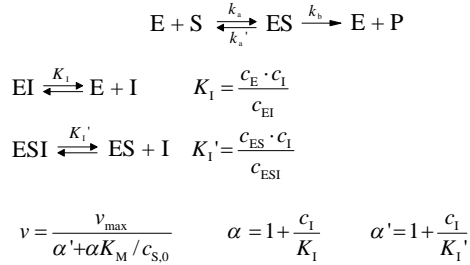


Katalitička konstanta: $k_{\text{cat}} = k_b = \frac{v_{\max}}{c_{\text{E},0}}$

Katalitička efikasnost: $\eta = \frac{k_{\text{cat}}}{K_M} = \frac{k_a \cdot k_b}{k_a + k_b}$

6

Reverzibilna inhibicija enzima



7

Reverzibilna inhibicija enzima

$$v = \frac{v_{\max}}{\alpha' + \alpha K_M / C_{S,0}} \quad \alpha = 1 + \frac{C_I}{K_1} \quad \alpha' = 1 + \frac{C_I}{K_1'}$$

Kompetitivna inhibicija: $\alpha > 1, \alpha' = 1$

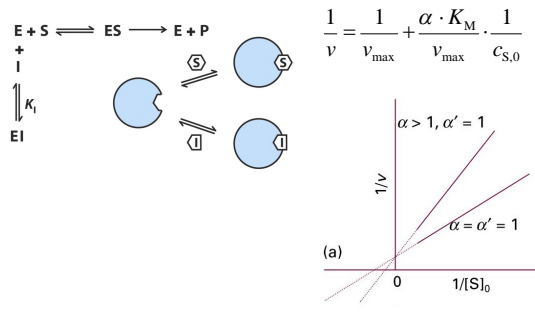
Akompeticativna inhibicija: $\alpha = 1, \alpha' > 1$

Nekompetitivna (miješana) inhibicija: $\alpha > 1, \alpha' > 1$

$$\text{Lineweaver-Burk jednadžba s inhibicijom: } \frac{1}{v} = \frac{\alpha'}{v_{\max}} + \frac{\alpha \cdot K_M}{v_{\max}} \cdot \frac{1}{C_{S,0}}$$

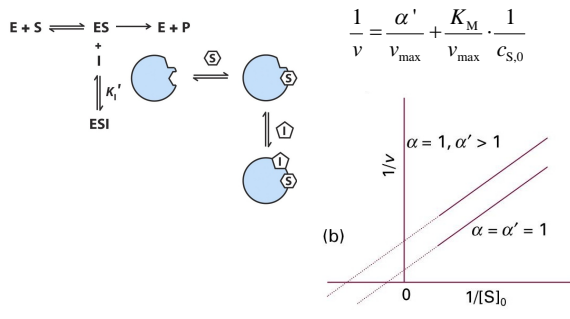
8

Kompetitivna inhibicija



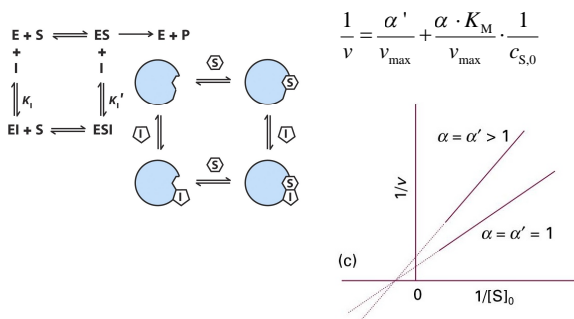
9

Akompeticativna inhibicija



10

Nekompetitivna inhibicija



11

Michaelis-Mentenov mod. mehanizam



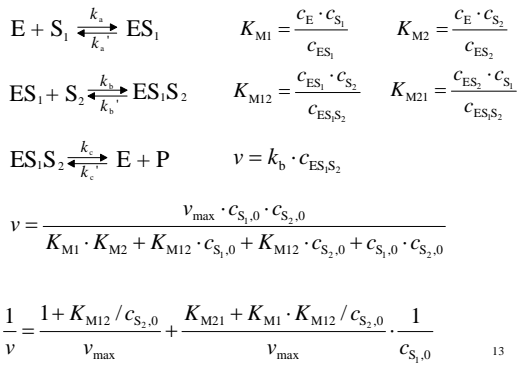
$$v = \frac{(v_{\max} / K_M) \cdot C_{S,0} - (v'_{\max} / K_M') \cdot C_P}{1 + C_{S,0} / K_M + C_P / K_M'}$$

$$v_{\max} = k_b \cdot C_{E,0} \quad v'_{\max} = k_a \cdot C_{E,0}$$

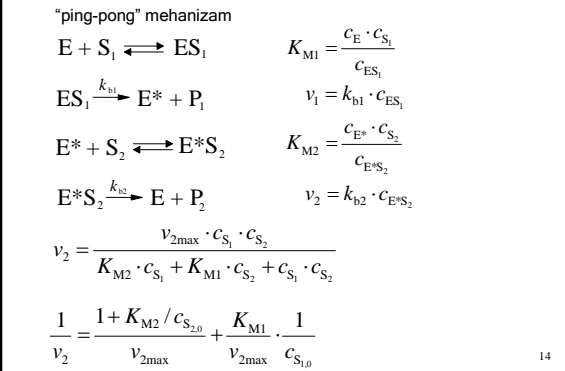
$$K_M = \frac{k_a + k_b}{k_a} \quad K_M' = \frac{k_a + k_b}{k_b}$$

12

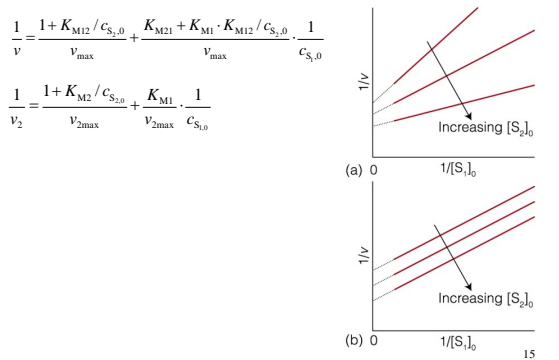
Uzastopne (konsekutivne) enz. reakcije



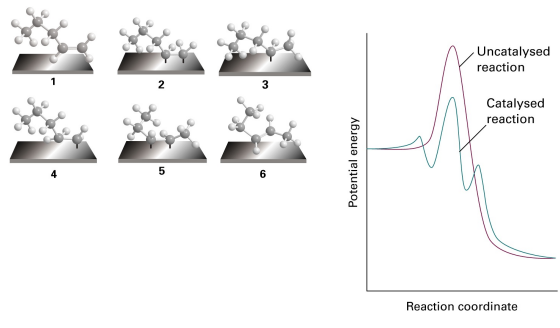
Uzastopne (konsekutivne) enz. reakcije



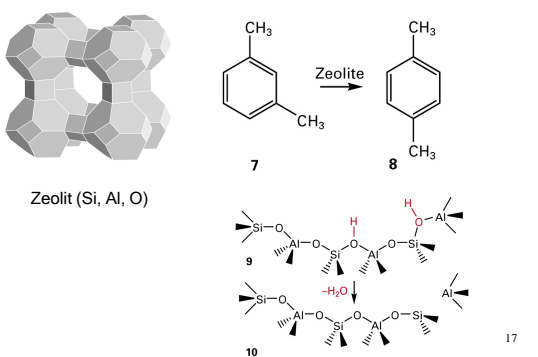
Uzastopne (konsekutivne) enz. reakcije



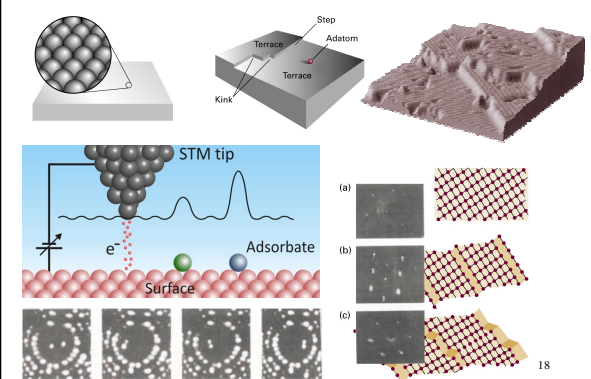
Heterogena kataliza



Heterogena kataliza



Površina



Fizička i kemička adsorpcija

$$\text{Prekrivenost površine: } \theta = \frac{N_{\text{Zauzetih adsorpcijskih mesta}}}{N_{\text{Ukupnih adsorpcijskih mesta}}}$$

Fizička adsorpcija (fizisorpcija): $\Delta_{\text{ad}}H \approx -20 \text{ kJ mol}^{-1}$

Kemička adsorpcija (kemisorpcija): $\Delta_{\text{ad}}H \approx -200 \text{ kJ mol}^{-1}$

Table 23.1* Maximum observed enthalpies of physisorption	
Adsorbate	$\Delta_{\text{ad}}H^{\circ}/(\text{kJ mol}^{-1})$
CH ₄	-21
H ₂	-84
H ₂ O	-59
N ₂	-21

* More values are given in the Data section.

Table 23.2* Enthalpies of chemisorption, $\Delta_{\text{ad}}H^{\circ}/(\text{kJ mol}^{-1})$		
Adsorbate	Adsorbent (substrate)	
C ₂ H ₆	Cr	-217
O ₂	Cr	-205
H ₂	Ni	-188
NH ₃	NH ₃	-188

* More values are given in the Data section.

19

Langmuirova izoterma

$$A_{(\text{plin. otopina})} + P_{(\text{površina})} \xrightleftharpoons[k_d]{k_a} AP_{(\text{površina})}$$

• Adsorpcijom nastaje monomolekularni sloj.

• Površina je uniformna i sva adsorpcijska mjesta su ekvivalentna.

• Ne postoji interakcija između susjednih adsorbiranih molekula.

$$\text{Brzina adsorpcije: } \frac{d\theta}{dt} = k_a \cdot c_{A,\text{sol}} \cdot N(1-\theta)$$

$$K = \frac{k_a}{k_d}$$

$$\text{Brzina desorpcije: } \frac{d\theta}{dt} = -k_d \cdot N \cdot \theta$$

$$\theta = \frac{K \cdot c_{A,\text{sol}}}{1 + K \cdot c_{A,\text{sol}}} \quad K \cdot c_{A,\text{sol}} = \frac{\theta}{1 - \theta}$$

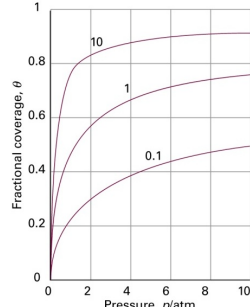
20

Langmuirova izoterma

$$\theta = \frac{K \cdot p_A}{1 + K \cdot p_A}$$

$$K \cdot c_{A,\text{sol}} = \frac{\theta}{1 - \theta}$$

$$\left(\frac{\partial \ln K}{\partial T} \right)_\theta = \frac{\Delta_{\text{ad}}H}{RT^2}$$



21

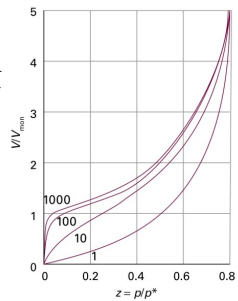
BET izoterma

Adsorpcijom nastaje više slojeva molekula.

$$\frac{V}{V_{\text{mono}}} = \frac{e^{(\Delta_{\text{des}}H^{\circ} - \Delta_{\text{vap}}H^{\circ})/RT} \cdot c_{A,\text{sol}}}{(1 - c_{A,\text{sol}}) \cdot \{1 - (1 - e^{(\Delta_{\text{des}}H^{\circ} - \Delta_{\text{vap}}H^{\circ})/RT}) \cdot c_{A,\text{sol}}\}}$$

Ako je $e^{(\Delta_{\text{des}}H^{\circ} - \Delta_{\text{vap}}H^{\circ})/RT} \gg 1$

$$\frac{V}{V_{\text{mono}}} = \frac{1}{1 - c_{A,\text{sol}}}$$



22

Temkin i Freundlich izoterme

Dolazi do međusobne interakcije između adsorbiranih molekula.

Temkinova izoterma: $\theta = c_1 \cdot \ln(c_2 \cdot c_{A,\text{sol}})$

Freundlichova izoterma: $\theta = c_1 \cdot c_{A,\text{sol}}^{1/c_2}$

c_1 i c_2 su empirijske konstante.

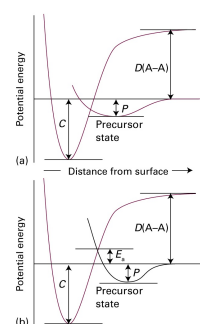
23

Brzina katalizirane reakcije

$$v = k \cdot \theta = \frac{k \cdot K \cdot c_{A,\text{sol}}}{1 + K \cdot c_{A,\text{sol}}}$$

Kada je $K \cdot c_{A,\text{sol}} \ll 1$: $v = k \cdot K \cdot c_{A,\text{sol}}$

Kada je $K \cdot c_{A,\text{sol}} \gg 1$: $v = k$



24